

## คำนำ

กุ้งขาว กุ้งขาวแวนนาไม หรือกุ้งขาวแปซิฟิก มีชื่อวิทยาศาสตร์ว่า *Litopenaeus vannamei* มีชื่อสามัญตาม Food and Agriculture Organization (FAO) ว่า White leg shrimp เป็นกุ้งพื้นเมืองที่เลี้ยงกันแพร่หลายในเขตทวีปอเมริกาใต้ ตั้งแต่ปี พ.ศ. 2545 เป็นต้นมา กรมประมงได้อนุญาตให้นำเข้าพ่อแม่พันธุ์กุ้งขาวมาเพาะเลี้ยงในประเทศ (ทรงทรัพย์, 2552) เนื่องจากเป็นกุ้งที่เลี้ยงง่ายและมีความทนทานต่อสภาพแวดล้อมได้ดี จึงได้รับความนิยมเลี้ยงจากเกษตรกรผู้เลี้ยงกุ้งทะเลเป็นอย่างมาก จนในปัจจุบันการเลี้ยงกุ้งทะเลของประเทศไทยส่วนใหญ่นิยมเลี้ยงกุ้งขาวเป็นสัตว์น้ำชายฝั่งอันดับหนึ่งทดแทนการเลี้ยงกุ้งกุลาดำและกุ้งแชบ๊วยในทุกพื้นที่ทั่วประเทศ แต่ในปัจจุบันการเลี้ยงกุ้งขาวประสบกับปัญหาต่างๆ มากมายจึงทำให้ผลผลิตกุ้งขาวลดต่ำลง จากสถิติการประมงแห่งประเทศไทย พ.ศ. 2556 พบว่าปริมาณผลผลิตกุ้งขาวในปี พ.ศ. 2556 ทั้งหมดมีปริมาณ 310,700 ตัน คิดเป็นมูลค่า 55,781.90 ล้านบาท ซึ่งลดลงจากปี พ.ศ. 2555 ถึง 277,500 ตัน คิดเป็นมูลค่าที่ลดลงถึง 17,007.20 ล้านบาท (ศูนย์เทคโนโลยีสารสนเทศและการสื่อสาร กรมประมง, 2558) ซึ่งผลผลิตกุ้งขาวที่ลดต่ำลงมีหลายสาเหตุประกอบกัน อาทิเช่น ปัญหาความเสื่อมโทรมของบ่อเลี้ยงและการจัดการในการเลี้ยง ที่สำคัญที่สุดคือปัญหาการระบาดของโรคตายด่วน หรือโรค EMS (Early Mortality Syndrome) และปัญหากุ้งโตช้า ซึ่งเกษตรกรส่วนใหญ่เข้าใจว่าเป็นผลมาจากการผสมเลือดชิด (Inbreeding) ของสายพันธุ์ที่ใช้เลี้ยง ทำให้เกิดความเสื่อมทางพันธุกรรม (กัญจกร และคณะ, 2550) และจากการเพาะเลี้ยงกุ้งขาวที่อาศัยการคัดเลือกเฉพาะกุ้งขาวตัวที่โตขึ้นมาเป็นพ่อแม่พันธุ์ มีผลให้กุ้งเจริญพันธุ์เร็ว ตลอดจนขาดการศึกษาเรื่องพันธุกรรมของประชากร ขาดการบริหารจัดการพ่อแม่พันธุ์และการดำรงรักษาพันธุ์ตามหลักพันธุศาสตร์ที่ดี ทั้งที่การดำเนินงานดังกล่าวเป็นปัจจัยที่สำคัญยิ่งต่อความยั่งยืนของการเพาะเลี้ยงสัตว์น้ำทุกชนิด (พนม และคณะ, 2555)

ความหลากหลายทางพันธุกรรม (Genetic Diversity) หมายถึง ความผันแปรของยีนหรือหน่วยพันธุกรรมของสิ่งมีชีวิตชนิดใดชนิดหนึ่ง (ศรีจรรยา, 2546) ความหลากหลายทางพันธุกรรมสามารถบ่งบอกได้ในสองระดับ คือ ความหลากหลายทางพันธุกรรมภายในประชากรและความหลากหลายทางพันธุกรรมระหว่างประชากร (วรารณ, 2552) ซึ่งการสืบพันธุ์แบบอาศัยเพศจะมีบทบาทสำคัญทำให้สิ่งมีชีวิตมีความหลากหลายทางพันธุกรรมภายในประชากรมากขึ้น โดยอาศัยกลไกการจัดเรียงตัวใหม่ของยีน (Recombination) ในระหว่างการแบ่งเซลล์แบบไมโอซิส (Meiosis) ส่วนความหลากหลายทางพันธุกรรมระหว่างประชากรเกิดเมื่อสมาชิกของประชากรมีการแยกตัวออกจากประชากรเดิม และลดการถ่ายเทยีน (Gene flow) ระหว่างประชากร ทำให้เกิดการเปลี่ยนแปลงของสมมูลยีน และความถี่อัลลีล (Allele) เปลี่ยนแปลงไป และต่อมาประชากรที่แยกจากกันจะมีลักษณะของวิวัฒนาการที่แตกต่างออกไป เพื่อปรับตัวให้เข้ากับสภาพแวดล้อมที่เปลี่ยนแปลง (Hedrick, 1985) สำหรับการตรวจวัดปริมาณความหลากหลายทางพันธุกรรม การวิเคราะห์ความแตกต่างระหว่างประชากร สามารถดำเนินการได้โดยใช้เทคโนโลยีชีวภาพระดับโมเลกุล (Molecular biotechnology) ในเรื่องของเครื่องหมายพันธุกรรม (Genetic marker) (พนม และคณะ, 2552)

เครื่องหมายพันธุกรรม (Genetic marker) หมายถึงสิ่งบอกตำแหน่งบนจีโนม (Genome) ซึ่งอาจเป็น ยีนที่กำหนดโปรตีนเกิดเป็นฟีโนไทป์ที่สังเกตได้จากการมองเห็นหรือโดยการตรวจทางเคมี เป็นยีนที่มีคุณสมบัติ ให้โปรตีนในรูปแบบที่จำแนกความแตกต่างได้ หรือเป็นดีเอ็นเอ (DNA) ที่ไม่ใช่ยีน เป็นชิ้นส่วนดีเอ็นเอในจีโนมที่มี สภาวะหลากหลายรูปแบบ (Polymorphism) และสามารถจำแนกรูปแบบที่แตกต่างกันได้จากเทคนิคทางโมเลกุล ซึ่งเครื่องหมายพันธุกรรมที่ดีควรมีความผันแปรสูง มีรูปแบบการถ่ายทอดทางพันธุกรรมแบบง่าย ๆ เช่นการ ถ่ายทอดยีนแบบเดี่ยว และเป็นลักษณะหรือดีเอ็นเอที่ถูกตรวจหาและติดตามได้ง่าย (อมรา, 2542)

การศึกษาค้นคว้าครั้งนี้คณะผู้วิจัยเลือกใช้เครื่องหมายพันธุกรรมที่มีชื่อว่า ไมโครแซทเทลไลท์ดีเอ็นเอ (Microsatellite DNA) ซึ่งเป็นลำดับนิวคลีโอไทด์ (Nucleotide) ที่ซ้ำกันช่วงสั้น ๆ (Simple sequence repeats, SSRs) ขนาดประมาณ 1 - 6 นิวคลีโอไทด์ มีจำนวนซ้ำตั้งแต่ 2 ซ้ำขึ้นไปไม่เกิน 100 ซ้ำ และแต่ละชุด ซ้ำเรียงต่อกันอยู่ในทิศทางเดียวกันตลอด (Tandem repeat) พบกระจายทั่วไปในจีโนม และมีตำแหน่งอยู่ใน ส่วนของ Noncoding region ซึ่งความหลากหลายเกิดขึ้นจากการเปลี่ยนแปลงของจำนวนซ้ำ และมีรายงาน พบว่าสูงถึง  $10^2$  ต่อรุ่น (Weber and Wong, 2003) ซึ่งเครื่องหมายพันธุกรรมไมโครแซทเทลไลท์ เป็น เครื่องหมายพันธุกรรมที่มีความหลากหลายสูง การแสดงออกเป็นแบบข่มร่วม (Co-dominant) สามารถศึกษา ได้โดยใช้เทคนิคพีซีอาร์ (Polymerase Chain Reaction, PCR) ซึ่งต้องการปริมาณดีเอ็นเอเริ่มต้นเพียง เล็กน้อย ผลที่ได้สามารถนำไปวิเคราะห์ได้ และสามารถทำซ้ำโดยผลที่ได้ไม่เปลี่ยนแปลง พบกระจายทั่วไปใน จีโนมทั้งในระหว่างยีนและภายในยีน (ทักษิณา, 2552) นอกจากนี้ไมโครแซทเทลไลท์ดีเอ็นเอยังมีจุดเด่นที่ สำคัญอีกประการหนึ่ง คือ สามารถพัฒนาไพรเมอร์สำหรับไมโครแซทเทลไลท์ในสัตว์น้ำข้ามชนิดที่อยู่ในสกุล เดียวกันได้ (Cross-species amplification) เช่น ปลาตุ๊กอูย-ปลาตุ๊กยักษ์-ปลาเทโพ ปลาตุ๊กอูย-ปลาสาวย และปลาทุ-ปลาลัง เป็นต้น (สุภาวดี, 2559)

ด้วยเหตุนี้การประยุกต์ใช้เครื่องหมายพันธุกรรมไมโครแซทเทลไลท์ในการประเมินความหลากหลาย ทางพันธุกรรมของกุ้งขาวจัดเป็นแนวทางที่มีความจำเป็นอย่างยิ่ง เพื่อให้ได้ข้อมูลความหลากหลายทาง พันธุกรรมที่ถูกต้องและเชื่อถือได้ ซึ่งข้อมูลเหล่านี้จะถูกนำไปใช้ในการคัดเลือกสายพันธุ์ที่เหมาะสมสำหรับการ เพาะเลี้ยงและพัฒนาการปรับปรุงพันธุ์กุ้งขาวของประเทศไทยในอนาคต

#### วัตถุประสงค์

เพื่อประเมินความหลากหลายทางพันธุกรรมของประชากรกุ้งขาวจากโรงเพาะฟักของกรมประมง และ โรงเพาะฟักของเอกชนในประเทศไทย

## วิธีดำเนินการ

### 1. การเก็บตัวอย่าง

เก็บตัวอย่างขาว่วยน้ำกุ้งขาวโรงเพาะฟักของกรมประมงและโรงเพาะฟักของเอกชน จำนวน 6 ประชากร (ตารางที่ 1) โดยเก็บตัวอย่างขาว่วยน้ำในสารละลายเอทานอล 95 เปอร์เซ็นต์ แล้วเก็บรักษาไว้ที่อุณหภูมิห้อง

ตารางที่ 1 รายละเอียดเก็บตัวอย่างกุ้งขาว 6 ประชากร

รหัสประชากร	แหล่งตัวอย่าง	จำนวนตัวอย่าง
WH01	โรงเพาะฟักของกรมประมง จ.สงขลา	127
WH02	โรงเพาะฟักของกรมประมง จ.สงขลา	116
WH03	โรงเพาะฟักของกรมประมง จ.สงขลา	76
WH04	โรงเพาะฟักเอกชน จ.ปัตตานี	90
WH05	โรงเพาะฟักเอกชน จ.ตราด	40
WH06	โรงเพาะฟักของกรมประมง จ.นครศรีธรรมราช	62

### 2. การสกัดดีเอ็นเอ

สกัดดีเอ็นเอจากขาว่วยน้ำกุ้งขาว โดยวิธี Proteinase K/Phenol-Chloroform ดัดแปลงจากวิธีของ Taggart *et. al.* (1992) จากนั้นตรวจสอบคุณภาพและความเข้มข้นของดีเอ็นเอที่สกัดได้ โดยการวัดค่าการดูดกลืนแสงของสารละลายดีเอ็นเอ ด้วยเครื่องวัดการดูดกลืนแสงชนิดนาโน (NanoDrop Spectrophotometer) ที่ความยาวคลื่น 260 และ 280 นาโนเมตร

### 3. การวิเคราะห์ตัวอย่างดีเอ็นเอ

เพิ่มปริมาณดีเอ็นเอ ด้วยปฏิกิริยา Polymerase Chain Reaction หรือ PCR โดยใช้เครื่องหมายพันธุกรรมไมโครแซทเทลไลท์ (Microsatellite DNA Marker) จำนวน 7 ตำแหน่ง คือ CNM-MG-339, CNM-MG-479, Lvan0014, Lvan0016, Lvan0017, Lvan0022 และ TUMXLv.9.93 รายละเอียดตามตารางที่ 2 และมีส่วนผสมของสารละลายในการทำปฏิกิริยา PCR (Schuelke, 2000) ดังแสดงไว้ในตารางที่ 3

ตารางที่ 2 เครื่องหมายพันธุกรรมไมโครแซทเทลไลท์ 7 ตำแหน่ง

Locus	GenBank		Forward Primer (5' - 3')	Reverse Primer (5' - 3')
	Accession No.	Repeat motif		
CNM-MG-339	-	(ACAAA)4	AAACAACATATTGCAGTTC	AAGCGTCAGATTCCAG
CNM-MG-479	-	T16	GTGAAGTTGGGATTATAG	CTGCCAGTTTAGCGAC
Lvan0014	EU419945	(AGAC)3...(ACAG)5	GTGGGTGTCTGTGGTACTTGAG	ATGGTTGTTCTCTGGCTCTTCT
Lvan0016	EU419946	(GA)5C(AGAC)4...(CAGG)5	TGTCACCCGAAAGATATGAGAG	CATGGCTTCCCTTTGTTTATC
Lvan0017	EU419947	(CT)10	GTAACATGCCCTCACTCACTCA	TGTCGCTGAGAGTTTATCATGG
Lvan0022	EU419950	(CAGA)6	GTGTGCCTATTTCTTATCTTAACGC	CTCTCGCTCTCGCTCTGTCTAT
TUMXLv.9.93	AF360115	(AG)9	GGTGTGTGTTTTGGTGATTTTG	CATTGATGCGTTTTCTTTAGGG

ตารางที่ 3 ส่วนผสมของสารละลายที่ใช้ในการทำปฏิกิริยา PCR (Schuelke, 2000)

ส่วนผสมของสารละลาย	ปริมาตร (ไมโครลิตร)
Distilled water	2.69
10x Buffer	1.00
dNTP mix	0.80
Bovine Serum Albumin (BSA)	0.10
Forward Primer + M13 Sequence	0.04
Reverse Primer	0.16
M13 Sequence + Fluorescence labeled	0.16
Taq DNA Polymerase	0.05
DNA Template	5.00
ปริมาตรรวม (ไมโครลิตร)	10.00

และสภาวะของปฏิกิริยา PCR (Schuelke, 2000) เป็นดังนี้

อุณหภูมิ 94 องศาเซลเซียส	เป็นเวลา 2 นาที	} 27 รอบ
อุณหภูมิ 94 องศาเซลเซียส	เป็นเวลา 30 วินาที	
อุณหภูมิ 56 องศาเซลเซียส	เป็นเวลา 30 วินาที	
อุณหภูมิ 72 องศาเซลเซียส	เป็นเวลา 30 วินาที	
อุณหภูมิ 94 องศาเซลเซียส	เป็นเวลา 30 วินาที	} 8 รอบ
อุณหภูมิ 53 องศาเซลเซียส	เป็นเวลา 30 วินาที	
อุณหภูมิ 72 องศาเซลเซียส	เป็นเวลา 30 วินาที	
อุณหภูมิ 72 องศาเซลเซียส	เป็นเวลา 10 นาที	

นำผลผลิต PCR (PCR Product) ที่ได้มาแยกด้วยเทคนิค 6% Denaturing polyacrylamide gel electrophoresis จากนั้นถ่ายภาพแถบอัลลีล (Allele) ด้วยเครื่อง Gel documentation และอ่านผลแถบอัลลีลที่ได้

#### 4.การวิเคราะห์ข้อมูล

วิเคราะห์ความหลากหลายทางพันธุกรรมภายในประชากร โดยใช้โปรแกรม POPGENE version 1.32 คำนวณความถี่ของอัลลีล (Alleles frequency) จำนวนอัลลีลเฉลี่ยต่อตำแหน่ง (Number of Alleles per locus) ค่าเฮตเทอโรไซโกซิตีเฉลี่ยทั้งค่าสังเกตและค่าคาดหวัง (Observed and Expected heterozygosity) และทดสอบสมดุลฮาร์ดี-ไวน์เบิร์ก (Hardy-Weinberg equilibrium, HWE) ในแต่ละประชากร โดยการวิเคราะห์ ณ ตำแหน่งที่มีความหลากหลายทางพันธุกรรม (Polymorphic locus) ด้วยวิธี Likelihood ratio test และวิเคราะห์รวมทุกตำแหน่งที่สำรวจด้วยวิธี Chi-square test

วิเคราะห์ความหลากหลายทางพันธุกรรมระหว่างประชากร โดยการคำนวณค่าสัมประสิทธิ์ F (F-Statistics) ด้วยโปรแกรม POPGENE version 1.32 และสร้างแผนผังความสัมพันธ์ทางพันธุกรรม (Phylogenetic tree) ด้วยวิธี UPGMA จากโปรแกรม POPTREEW web version (Takezaki *et. al.*, 2014)

### **ผลการศึกษา**

#### 1.การวิเคราะห์ความหลากหลายทางพันธุกรรมภายในประชากร

ผลการศึกษาความหลากหลายทางพันธุกรรมภายในประชากร (ตารางที่ 4) พบว่าประชากรที่มีจำนวนอัลลีลเฉลี่ยที่พบต่อตำแหน่ง (Averages observed number of alleles =  $n_o$ ) สูงสุดคือ WH04, WH05, WH03, WH02, WH06 และ WH01 โดยมีค่าเท่ากับ  $11.00 \pm 2.83$ ,  $10.29 \pm 2.36$ ,  $7.57 \pm 1.51$ ,  $4.86 \pm 1.35$ ,  $4.71 \pm 1.38$  และ  $2.57 \pm 0.98$  ตามลำดับ และจำนวน อัลลีลเฉลี่ยต่อตำแหน่งที่ถ่วงด้วยความถี่อัลลีล (Averages effective number of alleles =  $n_e$ ) มีค่าสูงสุดในประชากร WH04, WH05, WH03, WH02, WH06 และ WH01 โดยมีค่าเท่ากับ  $6.29 \pm 1.86$ ,  $6.16 \pm 0.93$ ,  $4.42 \pm 0.60$ ,  $3.47 \pm 0.91$ ,  $3.27 \pm 0.86$  และ  $2.42 \pm 0.92$  ตามลำดับ

สำหรับประชากรที่มีค่าสังเกตเฮตเทอโรไซโกซิตี (Observed heterozygosity =  $H_o$ ) มีค่าสูงสุดคือ WH05, WH02, WH04, WH03, WH01 และ WH06 ซึ่งมีค่าเท่ากับ  $0.78 \pm 0.14$ ,  $0.77 \pm 0.14$ ,  $0.71 \pm 0.16$ ,  $0.68 \pm 0.21$ ,  $0.54 \pm 0.34$  และ  $0.53 \pm 0.14$  ตามลำดับ ส่วนค่าคาดหวังเฮตเทอโรไซโกซิตี (Expected heterozygosity =  $H_e$ ) มีค่าสูงสุดในประชากร WH05, WH04, WH03, WH02, WH06 และ WH01 มีค่า  $0.85 \pm 0.03$ ,  $0.83 \pm 0.06$ ,  $0.78 \pm 0.03$ ,  $0.70 \pm 0.08$ ,  $0.68 \pm 0.09$  และ  $0.52 \pm 0.25$  ตามลำดับ

ค่าความหลากหลายของยีน (Gene diversity =  $I$ ) มีค่าสูงสุดในประชากร WH04, WH05, WH03, WH02, WH06 และ WH01 ซึ่งมีค่าเท่ากับ  $2.00 \pm 0.28$ ,  $1.99 \pm 0.17$ ,  $1.68 \pm 0.08$ ,  $1.33 \pm 0.25$ ,  $1.30 \pm 0.27$  และ  $0.84 \pm 0.44$  ตามลำดับ

เมื่อทำการทดสอบสมมติฐานฮาร์ดี-ไวน์เบิร์ก (Hardy-Weinberg Equilibrium) พบว่าประชากรทั้งหมดมีการเบี่ยงเบนจากสมมติฐานฮาร์ดี-ไวน์เบิร์กอย่างมีนัยสำคัญทางสถิติ ( $P_{HWE} < 0.05$ )

ตารางที่ 4 ค่าความหลากหลายทางพันธุกรรมในประชากรกุ่มขาว 6 ประชากร (N=จำนวนตัวอย่างในแต่ละประชากร  $n_a$ =จำนวนอัลลีลเฉลี่ยที่พบต่อตำแหน่ง  $n_e$ =จำนวนอัลลีลเฉลี่ยต่อตำแหน่งที่ถ่วงด้วยความถี่อัลลีล  $H_o$ =ค่าสังเกตเฮเทอโรไซโกซิตี  $H_e$ =ค่าคาดหวังเฮเทอโรไซโกซิตี และ I=ค่าความหลากหลายของยีน)

ตำแหน่ง		ประชากร						ค่าเฉลี่ย
		WH01	WH02	WH03	WH04	WH05	WH06	
CNM-MG339	N	111	111	64	83	38	53	
	$n_a$	4	5	6	9	12	3	7.57±3.39
	$n_e$	3.96	4.12	4.80	6.44	7.18	2.91	5.44±1.62
	$H_o$	0.95	0.85	0.75	0.82	0.84	0.45	0.78±0.17
	$H_e$	0.75	0.76	0.80	0.85	0.87	0.66	0.80±0.08
	I	1.38	1.49	1.68	1.98	2.15	1.08	1.72±0.39
CNM-MG479	N	124	116	76	78	40	62	
	$n_a$	2	6	9	10	8	5	7.43±2.94
	$n_e$	2.00	3.52	4.45	5.72	6.58	3.45	4.62±1.67
	$H_o$	0.58	0.93	0.75	0.85	0.77	0.50	0.74±0.16
	$H_e$	0.50	0.72	0.78	0.83	0.86	0.71	0.75±0.13
	I	0.69	1.40	1.78	1.92	1.96	1.39	1.60±0.48
Lvan0014	N	124	115	70	90	40	60	
	$n_a$	2	3	6	9	8	3	5.86±2.93
	$n_e$	1.95	2.63	4.82	3.58	4.95	2.85	3.53±1.22
	$H_o$	0.63	0.56	0.86	0.64	0.87	0.80	0.72±0.13
	$H_e$	0.49	0.62	0.80	0.72	0.81	0.65	0.69±0.12
	I	0.68	1.03	1.66	1.56	1.74	1.07	1.33±0.43
Lvan0016	N	110	111	75	87	40	56	
	$n_a$	3	6	7	17	14	6	10.43±5.42
	$n_e$	2.78	4.91	3.76	9.29	5.91	4.66	6.08±2.26
	$H_o$	0.18	0.86	0.48	0.55	0.62	0.50	0.53±0.22
	$H_e$	0.64	0.80	0.74	0.90	0.84	0.79	0.80±0.09
	I	1.06	1.68	1.54	2.43	2.11	1.66	1.87±0.48

ตารางที่ 4 (ต่อ)

ตำแหน่ง	ประชากร						ค่าเฉลี่ย	
	WH01	WH02	WH03	WH04	WH05	WH06		
Lvan0017	N	127	115	76	85	40	62	
	$n_a$	3	5	10	10	9	4	8.00±3.19
	$n_e$	2.44	3.92	3.75	5.81	5.54	2.08	4.31±1.54
	$H_o$	0.70	0.76	0.75	0.80	0.87	0.37	0.71±0.18
	$H_e$	0.59	0.75	0.74	0.83	0.83	0.52	0.73±0.13
	$I$	0.99	1.46	1.64	1.95	1.91	0.96	1.58±0.43
Lvan0022	N	119	113	75	90	39	60	
	$n_a$	3	6	8	12	12	6	9.00±3.60
	$n_e$	2.79	2.69	4.01	7.94	7.45	2.87	4.65±2.43
	$H_o$	0.76	0.85	0.69	0.84	0.90	0.60	0.77±0.11
	$H_e$	0.64	0.63	0.76	0.88	0.88	0.66	0.75±0.12
	$I$	1.06	1.20	1.66	2.26	2.19	1.38	1.69±0.51
TUMXLv9.93	N	121	115	68	66	37	59	
	$n_a$	1	3	7	10	9	6	7.29±3.46
	$n_e$	1.00	2.51	5.31	5.22	5.52	4.04	4.05±1.83
	$H_o$	0.00	0.61	0.32	0.44	0.54	0.46	0.39±0.22
	$H_e$	0.00	0.60	0.82	0.81	0.83	0.76	0.66±0.32
	$I$	0.00	1.00	1.79	1.87	1.87	1.55	1.43±0.74
ค่าเฉลี่ย	N	119.5	113.5	72	84	39	59	139.21
	$n_a$	2.57±0.98	4.86±1.35	7.57±1.51	11.00±2.83	10.29±2.36	4.71±1.38	7.94±3.36
	$n_e$	2.42±0.92	3.47±0.91	4.42±0.60	6.29±1.86	6.16±0.93	3.27±0.86	4.67±1.60
	$H_o$	0.54±0.34	0.77±0.14	0.68±0.21	0.71±0.16	0.78±0.14	0.53±0.14	0.67±0.11
	$H_e$	0.52±0.25	0.70±0.08	0.78±0.03	0.83±0.06	0.85±0.03	0.68±0.09	0.74±0.12
	$I$	0.84±0.44	1.33±0.25	1.68±0.08	2.00±0.28	1.99±0.17	1.30±0.27	1.60±0.45

## 2. การวิเคราะห์ความหลากหลายทางพันธุกรรมระหว่างประชากร

ค่าสัมประสิทธิ์ F (F-Statistics) เป็นค่าที่แสดงความสัมพันธ์ของอัลลีลภายในประชากร ซึ่งสามารถบอกได้ว่าประชากรนั้นมีการแบ่งออกเป็นประชากรย่อยหรือไม่ (Nei, 1977) จากการศึกษาความหลากหลายทางพันธุกรรมระหว่างประชากร โดยการวิเคราะห์ค่าสัมประสิทธิ์ F (F-Statistics) พบว่าความแตกต่างทางพันธุกรรมระหว่างประชากรกุ่มขาวทั้ง 6 ประชากร ( $F_{st}$ ) มีค่าระหว่าง 0.0877 – 0.2549 โดยมีค่า  $F_{st}$  เฉลี่ยเท่ากับ +0.1501 ส่วนการประเมินการผสมเลือดชิดวิเคราะห์จากค่า Fixation index ( $F_{is}$ ) พบว่ามี 2 ตำแหน่งจาก 7 ตำแหน่ง (Lvan0016 และ TUMXLv9.93) ที่มีค่าเป็นบวก ( $F_{is} = +0.3154$  และ  $+0.3753$ ) หมายความว่า ค่าเฮเทอโรไซโกตน้อยกว่าที่ควรจะเป็น เกิดขึ้นเนื่องจากการผสมเลือดชิด หรือมีการรวมกันของ

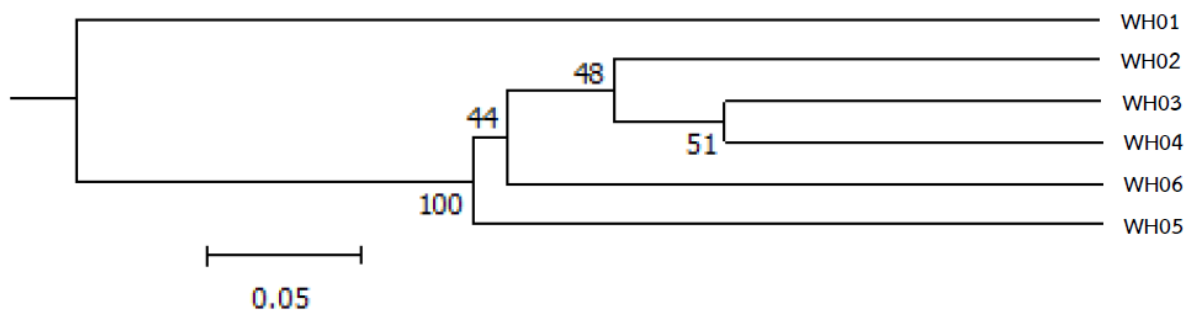
ประชากรที่มีความถี่อัลลีลต่างกัน (Wahlinds' effect) เป็นต้น ส่วนในตำแหน่ง CNM-MG479, CNM-MG339, Lvan0014, Lvan0017 และ Lvan0022 มีค่าเป็นลบ หมายความว่าค่าเฮเทอโรไซโกตมากกว่าที่ควรจะเป็น ดังแสดงในตารางที่ 5

ตารางที่ 5 ค่าสัมประสิทธิ์ F (F-Statistics) ในแต่ละตำแหน่งของประชากร ( $F_{st}$ =ค่าที่วัดความแตกต่างทางพันธุกรรมระหว่างประชากรต่างๆ  $F_{is}$ =ค่าที่บอกระดับการเบี่ยงเบนจากสมดุลฮาร์ดี-ไวน์เบิร์กของประชากรย่อย และ  $F_{it}$ =ค่าที่บอกระดับการเบี่ยงเบนจากสมดุลฮาร์ดี-ไวน์เบิร์กของประชากรทั้งหมด)

ตำแหน่ง	$F_{is}$	$F_{it}$	$F_{st}$
CNM-MG339	-0.0015	+0.1263	+0.1276
CNM-MG479	-0.0363	+0.1161	+0.1470
Lvan0014	-0.0746	+0.0595	+0.1248
Lvan0016	+0.3154	+0.4200	+0.1528
Lvan0017	-0.0045	+0.1529	+0.1567
Lvan0022	-0.0517	+0.0406	+0.0877
TUMXLv9.93	+0.3753	+0.5346	+0.2549
ค่าเฉลี่ย	+0.0702	+0.2098	+0.1501

### 3.แผนผังความสัมพันธ์ทางพันธุกรรม (Phylogenetic tree)

ผลการวิเคราะห์ความสัมพันธ์ทางพันธุกรรมของประชากรกุ่มขาวทั้งหมด 6 ประชากร ด้วยวิธี UPGMA ดังภาพที่ 1 แสดงให้เห็นว่าประชากรแบ่งออกเป็น 2 กลุ่ม โดยกลุ่มที่ 1 ประกอบด้วยประชากรกุ่มขาวจากโรงเพาะฟักของกรมประมงในจังหวัดสงขลา (WH01) และกลุ่มที่ 2 ประกอบด้วยประชากรกุ่มขาวจากโรงเพาะฟักของกรมประมงในจังหวัดสงขลา (WH02, WH03) โรงเพาะฟักของกรมประมงในจังหวัดนครศรีธรรมราช (WH06) โรงเพาะฟักของเอกชนในจังหวัดปัตตานี (WH04) และโรงเพาะฟักของเอกชนในจังหวัดตราด (WH05) ซึ่งภายในกลุ่มที่ 2 นี้มีการแบ่งย่อยประชากรกุ่มขาวออกเป็นอีกหลายๆ กลุ่ม แต่ค่าการเข้าส่วนใหญ่มีค่าอยู่ระหว่าง 44-51 เปอร์เซ็นต์ มีเพียงจุดแยกระหว่างกลุ่ม WH05 กับ WH02, WH03, WH04 และ WH06 เท่านั้นที่มีความการเข้าสูงถึง 100 เปอร์เซ็นต์



ภาพที่ 1 แผนผังความสัมพันธ์ทางพันธุกรรม (Phylogenetic tree)

### สรุปและวิจารณ์ผล

ผลการศึกษาในครั้งนี้พบว่าประชากรกึ่งขาวจากโรงเพาะฟักเอกชนในจังหวัดปัตตานี (WH04) มีความหลากหลายทางพันธุกรรมภายในประชากรมากที่สุด รองลงมาคือประชากรกึ่งขาวจากโรงเพาะฟักของเอกชนในจังหวัดตราด (WH05) และประชากรกึ่งขาวจากโรงเพาะฟักของกรมประมงในจังหวัดสงขลา (WH03) โดยมีจำนวนอัลลีลเฉลี่ยที่พบต่อตำแหน่ง ( $n_a$ ) อัลลีลเฉลี่ยต่อตำแหน่งที่ถ่วงน้ำหนักด้วยความถี่อัลลีล ( $n_e$ ) ค่าสังเกตเฮตเทอโรไซโกซิตี ( $H_o$ ) และค่าความหลากหลายของยีน ( $I$ ) เท่ากับ  $11.00 \pm 2.83$   $10.29 \pm 2.36$   $7.57 \pm 1.51$ ,  $6.29 \pm 1.86$   $6.16 \pm 0.93$   $4.42 \pm 0.60$ ,  $0.71 \pm 0.16$   $0.78 \pm 0.14$   $0.68 \pm 0.21$  และ  $2.00 \pm 0.28$   $1.99 \pm 0.17$   $1.68 \pm 0.08$  ตามลำดับ ซึ่งจำนวนอัลลีลเฉลี่ยที่พบต่อตำแหน่งและค่าสังเกตเฮตเทอโรไซโกซิตีจากการศึกษาในครั้งนี้มีค่าสูงกว่าการศึกษาของ Valles-Jimenez *et. al.* (2005) ที่ทำการศึกษาโครงสร้างพันธุศาสตร์ประชากรของกึ่งขาวจากประเทศเม็กซิโกถึงประเทศปานามาด้วยความแปรปรวนของไมโครแซทเทลไลท์ดีเอ็นเอ โดยมีค่าเท่ากับ 7.4–8.6 และ 0.241–0.388 ตามลำดับ และมีค่าสูงกว่าการศึกษาของ Perez-Enriquez *et. al.* (2009) ที่ทำการศึกษาสถานะความหลากหลายทางพันธุกรรมของพ่อแม่พันธุ์กึ่งขาวในประเทศเม็กซิโก โดยมีจำนวนอัลลีลเฉลี่ยที่พบต่อตำแหน่งและค่าสังเกตเฮตเทอโรไซโกซิตี เท่ากับ 8.98 และ 0.57 ตามลำดับ นอกจากนี้ยังมีค่าสังเกตเฮตเทอโรไซโกซิตีสูงกว่าการศึกษาความแปรปรวนทางพันธุกรรมต่ำในกึ่งขาว 5 ประชากรในประเทศคิวบาโดยใช้เครื่องหมายไมโครแซทเทลไลท์ที่มีค่าเท่ากับ 0.27 (Artiles *et. al.*, 2011) แต่มีค่าสังเกตเฮตเทอโรไซโกซิตีต่ำกว่าจากการศึกษาของจากรูวรรณ และคณะ (2556) ที่ศึกษาความหลากหลายทางพันธุกรรมและการระบุพ่อแม่ลูกของประชากรกึ่งขาวปลอดเชื้อโรคในโรงเพาะฟัก โดยมีค่าสังเกตเฮตเทอโรไซโกซิตีรุ่นพ่อแม่และรุ่นลูก เท่ากับ 0.891 และ 0.813 ตามลำดับ

การศึกษาความหลากหลายทางพันธุกรรมระหว่างประชากรกึ่งขาวทั้ง 6 ประชากรมีค่าสูง ( $F_{st} = 0.0877-0.2549$ ) แสดงให้เห็นว่าประชากรกึ่งขาวทั้ง 6 ประชากรมีความแตกต่างทางพันธุกรรมมาก ซึ่งแตกต่างจากการศึกษาความแปรปรวนทางพันธุกรรมของกึ่งขาว 3 รุ่น ( $F_5$ ,  $F_6$  และ  $F_7$ ) ที่มีค่าความแตกต่างทางพันธุกรรมต่ำ ( $F_{st} = -0.004$ ) ซึ่งแสดงให้เห็นว่าประชากรกึ่งขาวทั้ง 3 รุ่นมี Homogeneity สูง (Luvesuto *et. al.*, 2007) เช่นเดียวกับการศึกษาของ Perez-Enriquez *et. al.* (2009) ที่มีค่า  $F_{st}$  เพียง 0.015

จากแผนผังความสัมพันธ์ทางพันธุกรรม พบว่าประชากรกึ่งขาวแบ่งออกเป็น 2 กลุ่มอย่างชัดเจน โดยกลุ่มที่ 1 ประกอบด้วยประชากรกึ่งขาวจากโรงเพาะฟักของกรมประมงในจังหวัดสงขลา (WH01) และกลุ่มที่ 2 ประกอบด้วยประชากรกึ่งขาวจากโรงเพาะฟักของกรมประมงในจังหวัดสงขลา (WH02, WH03) โรงเพาะฟักของกรมประมงในจังหวัดนครศรีธรรมราช (WH06) โรงเพาะฟักของเอกชนในจังหวัดปัตตานี (WH04) และโรงเพาะฟักของเอกชนในจังหวัดตราด (WH05) โดยประชากรกึ่งขาวภายในกลุ่มที่ 2 มีพันธุกรรมที่ใกล้ชิดกัน แต่แตกต่างจากประชากรกึ่งขาวในกลุ่มที่ 1 ที่เป็นเช่นนี้อาจเนื่องมาจากประชากรกึ่งขาวในกลุ่มที่ 2 เกิดจากการนำพ่อแม่พันธุ์จากแหล่งเดียวกันมาผสมข้ามกับพ่อแม่พันธุ์ที่มีอยู่ภายในโรงเพาะฟักนั้นๆ จึงทำให้ประชากรกึ่งขาวในกลุ่มที่ 2 ทั้ง 5 ประชากรมีพันธุกรรมที่ใกล้ชิดกัน

ความหลากหลายทางพันธุกรรมของประชากรกึ่งขาวทั้ง 6 ประชากรที่ทำการศึกษาในครั้งนี้อยู่ในเกณฑ์ดี มีความแตกต่างทางพันธุกรรมปานกลางถึงมากที่สุด (พิจารณาจากค่า  $F_{st}=0.0877-0.2549$  เทียบเคียง

กับ Wright (1978) โดยค่า  $F_{st}=0.00-0.05$  แสดงว่ามีความแตกต่างทางพันธุกรรมน้อย ค่า  $F_{st}=0.05-0.15$  แสดงว่ามีความแตกต่างทางพันธุกรรมปานกลาง ค่า  $F_{st}=0.15-0.25$  แสดงว่ามีความแตกต่างทางพันธุกรรมมาก และค่า  $F_{st}>0.25$  แสดงว่ามีความแตกต่างทางพันธุกรรมมากที่สุด) มีศักยภาพที่จะนำไปใช้เป็นพ่อแม่พันธุ์ในการเพาะเลี้ยงและปรับปรุงพันธุ์ได้ ซึ่งข้อมูลที่ได้จากการศึกษานี้สะท้อนให้เห็นว่าประชากรกุ้งขาวในประเทศไทยยังมีความหลากหลายทางพันธุกรรมที่ค่อนข้างสูง ปัญหาที่อ่อนแอเกิดโรคน้ำตายและปัญหาที่โตช้าที่เกษตรกรส่วนใหญ่เข้าใจว่าเป็นผลมาจากการผสมเลือดชิดของสายพันธุ์ที่ใช้เลี้ยงนั้น น่าจะมีสาเหตุอื่นที่ไม่ใช่พันธุกรรมของกุ้ง เช่น การจัดการบ่อที่ไม่เหมาะสมทำให้บ่อเลี้ยงและแหล่งน้ำเสื่อมโทรม เป็นต้น แม้กระนั้นเกษตรกรก็ควรที่จะทำการตรวจสอบและเฝ้าระวังการเปลี่ยนแปลงความหลากหลายทางพันธุกรรมในประชากรพ่อแม่พันธุ์กุ้งขาวก่อนที่จะนำมาเพาะขยายพันธุ์ทุกครั้ง เพื่อลดการเกิดปัญหาการผสมเลือดชิดและเพิ่มแหล่งพ่อแม่พันธุ์กุ้งขาวที่มีคุณภาพของไทยให้มีศักยภาพด้านการผลิตเพิ่มสูงขึ้นและมีความยั่งยืนต่อไปในอนาคต

### คำขอบคุณ

คณะผู้วิจัยขอขอบคุณ เจ้าหน้าที่ทุกท่านของศูนย์วิจัยและพัฒนาการเพาะเลี้ยงสัตว์น้ำชายฝั่งเขต ๖ (สงขลา) ศูนย์วิจัยและพัฒนาพันธุกรรมสัตว์น้ำนครศรีธรรมราช โรงเพาะฟักเอกชนในจังหวัดตราดและจังหวัดปัตตานี ที่ให้ความช่วยเหลือในการเก็บตัวอย่าง และโดยเฉพาะอย่างยิ่ง คุณซาโตชิ คูโบตะ และเจ้าหน้าที่ของศูนย์วิจัยและพัฒนาการเพาะเลี้ยงสัตว์น้ำชายฝั่งเขต ๔ (กระบี่) ทุกท่านที่อำนวยความสะดวก ให้อำนวยความสะดวก เครื่องมือและอุปกรณ์ในระหว่างการเดินทางดำเนินการทดลอง ซึ่งการศึกษานี้ได้รับการสนับสนุนจากโครงการความร่วมมือทางวิชาการระหว่างไทย-ญี่ปุ่น โครงการ “การพัฒนาเทคโนโลยีด้านการเพาะเลี้ยงสัตว์น้ำเพื่อความมั่นคงและความปลอดภัยทางอาหารเพื่อศตวรรษหน้า” (Development of Aquaculture Technology for Food Security and Food Safety in the Next Generation)

### เอกสารอ้างอิง

- กัณฑ์จริย เจริญทวี, สุภาวดี พุ่มพวง, อุทัยรัตน์ ณ นคร และ สุรียัน ธัญกิจจานุกิจ. 2550. ความหลากหลายทางพันธุกรรมของประชากรกุ้งก้ามกรามจากโรงเพาะฟักและธรรมชาติ. วารสารเทคโนโลยีการประมง ปีที่ 1 ฉบับที่ 1. 50-58.
- จากรุวรรณ ชาญณรงค์, ชูย กอง, อัครพงษ์ สวัสดิพงษ์, ญอน ชาง และ เลิศลักษณ์ เงินศิริ. 2556. ความหลากหลายทางพันธุกรรมและการระบุพ่อแม่ลูกของประชากรกุ้งขาวปลอดเชื้อโรคน้ำตายในโรงเพาะฟัก. ใน: เรื่องเต็มการประชุมวิชาการของมหาวิทยาลัยเกษตรศาสตร์ ครั้งที่ 51 สาขาวิทยาศาสตร์, สาขาทรัพยากรธรรมชาติและสิ่งแวดล้อม. วันที่ 5-7 กุมภาพันธ์ 2556. ณ มหาวิทยาลัยเกษตรศาสตร์ กรุงเทพมหานคร. หน้า 18-25.
- ทรงทรัพย์ อรุณกมล. 2552. การใช้ *Schizochytrium limacinum* ในการอนุบาลลูกกุ้งขาวแวนนาไม (*Litopenaeus vannamei*, Boone) และผลที่มีต่อระบบภูมิคุ้มกันและความทนทานต่อความเครียด. วิทยานิพนธ์วิทยาศาสตรมหาบัณฑิต. มหาวิทยาลัยเกษตรศาสตร์, กรุงเทพมหานคร. 76 หน้า.

- ทักษิณา เหมยคำ. 2552. ความหลากหลายทางพันธุกรรมของปลาสาวย *Pangasianodon hypophthalmus* (Sauvage 1878) จากโรงเพาะฟักในประเทศไทย. วิทยานิพนธ์วิทยาศาสตรมหาบัณฑิต. มหาวิทยาลัยเกษตรศาสตร์, กรุงเทพมหานคร. 70 หน้า.
- พนม กระจ่างพจน์ สอดสุข, ศรีรัตน์ สอดสุข, ธัญญ์ สังกরণกิจ, พลชาติ ผิวฉนร และ ภูวนัย ชัยศรี. 2552. ความหลากหลายทางพันธุกรรมและความแตกต่างระหว่างประชากรในปูม้าจากแหล่งธรรมชาติของไทยโดยใช้เทคนิคไมโครแซทเทลไลท์และการเปรียบเทียบลักษณะการเจริญเติบโต. การประชุมวิชาการประมง ประจำปี 2552. 161-176.
- พนม กระจ่างพจน์ สอดสุข, สุภาพ ไพรพนาพงศ์, นิพนธ์ เสนอินทร์, ศรีรัตน์ สอดสุข และ พลชาติ ผิวฉนร. 2555. การวิเคราะห์ความแปรปรวนทางพันธุกรรมโดยเครื่องหมายไมโครแซทเทลไลท์ในประชากรปลากะพงขาวจากแหล่งเพาะพันธุ์. *Thai J. Genet.* 5(2) : 166-182.
- วรางคณา พระคุณ. 2552. การศึกษาความหลากหลายทางพันธุกรรมของหอยแมลงภู่ (*Perna viridis*) ในอ่าวไทยตอนบน. วิทยานิพนธ์วิทยาศาสตรมหาบัณฑิต. มหาวิทยาลัยเกษตรศาสตร์, กรุงเทพมหานคร. 92 หน้า.
- ศรียรรยา สุขมนโนมนต์. 2546. การพัฒนาไมโครแซทเทลไลท์ไพรเมอร์สำหรับปลาตุ๋กอยู่และการประยุกต์เพื่อการศึกษาพันธุศาสตร์ประชากร. วิทยานิพนธ์วิทยาศาสตรมหาบัณฑิต. มหาวิทยาลัยเกษตรศาสตร์, กรุงเทพมหานคร. 105 หน้า.
- ศูนย์เทคโนโลยีสารสนเทศและการสื่อสาร กรมประมง. 2558. สถิติการประมงแห่งประเทศไทย พ.ศ. 2556. เอกสารฉบับที่ 7/2558. กรมประมง, กรุงเทพมหานคร. 92 หน้า.
- สุภาวดี พุ่มพวง. 2559. จีโนมิกส์เพื่อการปรับปรุงพันธุ์สัตว์น้ำ. คณะประมง, มหาวิทยาลัยเกษตรศาสตร์, กรุงเทพมหานคร. 236 หน้า
- อมรา คัมภีรานนท์. 2542. พันธุศาสตร์มนุษย์. บริษัท แท็กซี่แอนด์เจอร์นัลพับลิเคชั่น, กรุงเทพมหานคร. 308 หน้า.
- Artiles, A., I. Rodriguez, A. Perez, L. Perez and G. Espinosa. 2011. Low genetic variability in the fifth introduction of *Litopenaeus vannamei* in Cuba, as estimated with microsatellite markers. *Biotechnol. Aplicat.* 28:147-150.
- Hedrick, P. W. 1985. Genetic of Population. Jones and Bartlett Publ. Inc., Boston. 629 pp.
- Luvesuto, E., P. Domingues de Freitas and P. M. Galetti Junior. 2007. Genetic variation in a closed line of the white shrimp *Litopenaeus vannamei* (Penaeidae). *Genet. Mol. Biol.* 30(4): 1156-1160.
- Nei, M. 1977. F-statistics and analysis of gene diversity in subdivided populations. *Ann. Human. Genet. Ann.* 1: 225-233.
- Perez-Enriquez, R., F. Hernandez-Martinez and P. Cruz. 2009. Genetic diversity status of white shrimp *Penaeus (Litopenaeus) vannamei* broodstock in Mexico. *Aquaculture* 297:44-

50.

Schuelke, M. 2000. An economic method for the fluorescent labeling of PCR fragments.

*Nature. Biotech.* 18:233-234.

Taggart, J. B., R. A. Hynes, P. A. Prodohl and A. Ferguson. 1992. A simplified protocol of

routine total DNA isolation from salmonid fishes. *J. Fish. Biol.* 40:963-965.

Takezaki, N., M. Nei and K. Tamura. 2014. POPTREEW: Web version of POPTREE for

constructing population tree from allele frequency data and computing some other quantities. *Mol. Biol. Evol.* 3 pp.

Valles-Jimenez, R., P. Cruz and R. Perez-Enriquez. 2005. Population Genetic Structure of

Pacific White Shrimp (*Litopenaeus vannamei*) from Mexico to Panama: Microsatellite DNA Variation. *Mar. Biotechnol.* 6:475-484.

Weber, J. L. and C. Wong. 2003. Mutation of human short tandem repeats. *Hum. Mol. Genet.* 2: 1123 - 1128.

Wright, S. 1978. Evolution and the Genetics of Populations. Vol.4: Variability Within and

Among Natural Populations. Chicago: University of Chicago Press.